



УДК 539.375

© 2012

Член-кореспондент НАН України О. Є. Андрейків, С. В. Хиль,
Ю. Я. Матвіїв

Розрахункова модель для визначення періоду докритичного росту тріщин в пластинах при блочному навантаженні

Розроблено метод для визначення залишкового ресурсу тонкостінних елементів конструкцій з тріщинами при блочному навантаженні. Досліджено вплив форми і структури блоків навантаження на залишкову довговічність пластини.

У різних конструкціях допускають появу втомних тріщин [1]. Некономно проектувати конструкції з необмеженою довговічністю. Тому одна із важливих проблем під час експлуатації мобільних елементів конструкцій є визначення залишкового ресурсу, тобто ресурсу з наявними тріщинами. Цій проблемі в даний час присвячено багато праць (див., наприклад, [1, 2]), що в більшості стосуються регулярного навантаження. Проте в інженерній практиці (кораблях, літаках, деталях газотурбінних двигунів, трубопроводах, залізничних та автодорожніх мостах, компресорних лопатках) елементи піддані дії багаточастотних або блочних навантажень. Теоретичні аспекти тут розроблені ще недостатньо [1, 3, 4], а експериментальні дослідження через значні технічні труднощі проведені в малому об'ємі.

Дана робота якраз і присвячена дослідженню такої важливої проблеми. Зокрема, тут на основі [5, 6] раніше сформульованого авторами енергетичного підходу розроблена розрахункова модель для визначення залишкового ресурсу тонкостінних елементів конструкцій при блочному навантаженні.

Постановка задачі і метод її розв'язання. Для простоти дослідження залежності залишкової довговічності тонкостінного елемента конструкції від структури і форми блоків навантаження розглянемо нескінченну пластину, послаблену прямолінійною тріщиною початкової довжини $2l_0$, яка піддана дії в нескінченно віддалених точках рівномірно розподілених зусиль F , зміна яких з часом t і напрямком має блочний характер. Задача полягає у визначенні такої кількості $N_1 = N_1^*$ блоків навантаження, після досягнення якого тріщина буде мати критичну довжину $l = l_*$ і пластина зруйнується.

Розв'язок даної задачі здійснюємо на основі сформульованого раніше [5, 6] авторами енергетичного підходу. В результаті цього для визначення $N_1 = N_1^*$ отримаємо наступну систему рівнянь:

$$\frac{dl}{dN_1} = \frac{W_c}{\gamma_c - \gamma_t}, \quad \frac{\partial}{\partial \theta} \left[\frac{W_c}{\gamma_c - \gamma_t} \right]_{\theta=\theta_*} = 0; \quad (1)$$

за початкових та кінцевих умов

$$N_1 = 0, \quad l(0) = l_0; \quad N_1 = N_1^*, \quad l(N_1^*) = l_*, \quad \gamma_t(l_*) = \gamma_c.$$

Тут $W_C = \sum_{i=1}^n W_C^{(i)}$ — робота пластичних деформацій розтягу у зоні передруйнування біля вершин тріщини, які генерує саме тіло [6]; $W_C^{(i)}$ — робота пластичних деформацій розтягу W_C для i -го піку навантаження в блоці; n — кількість піків навантаження в блоці; θ — координата полярної системи координат $O\rho\theta$ з початком у вершині втомної тріщини і полярною віссю вздовж дотичної до лінії тріщини в цій вершині; θ_* — кут напрямку поширення тріщини; γ_c — питома енергія руйнування під час поширення втомної тріщини; γ_t — питома енергія пластичного деформування в зоні передруйнування біля вершини тріщини, яка залежить тільки від її довжини: $\gamma_t = \sigma_t \delta_I + \tau_t \delta_{II}$ [6, 7]; σ_t і τ_t — усереднені нормальні і дотичні напруження в зоні передруйнування; δ_I і δ_{II} — нормальний і дотичний розкриви вершини тріщини; δ_{fC} — критичне значення δ_I ;

$$\gamma_c = \sigma_t \delta_{fA} = \frac{K_{fC}^2}{E}, \quad \delta_{It} = \frac{K_I^2}{E\sigma_t}, \quad \delta_{II} = \frac{K_{II}^2}{E\tau_t}, \quad (2)$$

$$W_C^{(i)}(l) = \frac{0,25\alpha_0}{\sigma_t E} (1 - R)^4 (K_{iI \max}^4 + K_{iII \max}^4 - K_{th}^4);$$

E — модуль пружності; α_0 — константа матеріалу, яка визначається із експерименту; $K_{iI \max}$, $K_{iII \max}$ — максимальне значення коефіцієнтів інтенсивності напружень біля вершини тріщини вздовж дотичної до лінії її розміщення; K_{fC} — критичне значення K_I при циклічному навантаженні; $R_i = K_{i \min I} K_{i \max I}^{-1}$; $K_{i \min I}$ — найбільше значення мінімальних значень K_I в циклі; K_{th} — значення K_I , при якому тріщина не поширюється [6, 7].

Вплив форми блока навантаження, перпендикулярного до лінії розміщення тріщини. Якщо навантаження F перпендикулярне до лінії розміщення тріщини, то система рівнянь (1) зведеться до такого рівняння:

$$\frac{dl}{dN_1} = W_c E (K_{fC}^2 - \pi l F_{s \max}^2)^{-1}; \quad (3)$$

при початкових і кінцевих умовах

$$N_1 = 0, \quad l(0) = l_0; \quad N_1 = N_1^*, \quad l(N_1^*) = l_*, \quad l_* = \pi^{-1} K_{fC}^2 F_{\max}^{-2}. \quad (4)$$

Тут $F_{s \max}$ — максимальне значення навантаження $F(t)$ в блоці; W_c — робота пластичних деформацій в зоні передруйнування біля вершини тріщини за один блок, яка визначається так [6]:

$$W_c = 0,25\alpha_0 \pi^2 l^2 E^{-2} \sigma_t^{-1} \sum_{s=1}^n (1 - R_s)^4 (F_{s \max}^4 - F_{th}^4). \quad (5)$$

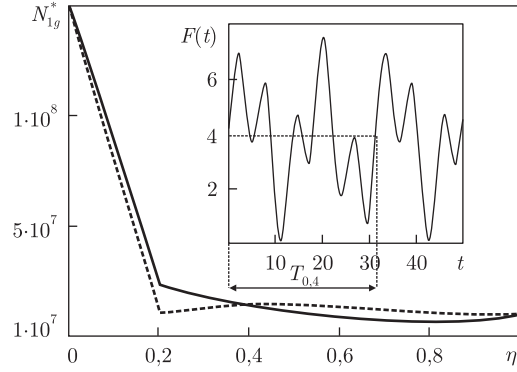


Рис. 1. Графічне порівняння залежностей $N_{1g}^* \sim \eta_1$ з урахуванням (суцільна лінія) і неврахуванням (штрихова лінія) форми циклу

Тут n — кількість ділянок у блочному навантаженні $F(t)$ зі своїм максимумом $F_{s \max}$ і мінімумом $F_{s \min}$; $R_s = F_{s \min} F_{s \max}^{-1}$; F_{th} — величина зовнішнього навантаження, при якому не буде розкриття тріщини ($K_{th} = F_{th} \sqrt{\pi l}$). Як приклад, розглянемо задачу, коли пластина із тріщиною піддана дії двочастотного ω_1, ω_2 навантаження

$$F(t) = b[1 + \sin(0,5t\omega_1(1 + \eta_1)) \cos(0,5t\omega_1(1 - \eta_1))], \quad (6)$$

де $0 \leq \omega_2 \omega_1^{-1} = \eta_1 \leq 1$. Тут, приймаючи для простоти обчислень $F_{th} = 0$, W_c визначаємо так. Для кожного значення $\eta_1 = 0; 0,2; 0,4; 0,6; 0,8; 1$ будуємо залежність $F(t)$, визначаємо період і форму зміни циклу. Розбиваємо кожен цикл з періодами T_i ($i = 0; 0,2; 0,4; 0,6; 0,8; 1$) на n ділянок з піками зміни $F(t)$ (див. рис. 1) і для кожної ділянки визначаємо $F_{i \max}$ і $F_{i \min}$.

Тоді, інтегруючи (3) з урахуванням (4)–(6), отримуємо:

$$N_1^* = A \left[-K_{fc}^2 l_*^{-1} + K_{fc}^2 l_0^{-1} - F_{s \max}^2 \pi \ln \frac{l_*}{l_0} \right], \quad (7)$$

$$A = 24 \sigma_t^2 \pi^{-1} \left[\sum_{s=1}^{N_2} (F_{s \max} - F_{s \min})^4 \right]^{-1}.$$

Для числового аналізу формули (7) задамо параметри зовнішнього навантаження, довжини початкової тріщини і характеристики матеріалу так: $l_0 = 0,01m$, $K_{fc} = 85 \text{ МПа} \cdot \sqrt{m}$. На основі цього і формули (7) побудована (рис. 1) залежність N_{1g}^* від η_1 (суцільна лінія) ($N_{1g}^* = N_1^* b (7,64 \sigma_t^2)^{-1}$). Як бачимо, зі збільшенням відношення частот довговічність знижується, що підтверджують експерименти [3]. Тут також побудовано (штрихова лінія) залежність N_{1g}^* від η_1 , коли не враховувати реальну форму циклу (синусоїдальна зміна $F(t)$ із одним піком F_{\max} в циклі), що може призвести (для деяких η_1) до значних похибок для N_{1g}^* .

Вплив структури напрямків навантаження в блоці. Розглянемо випадок, коли згадана вище пластина з тріщиною довжиною $2l_0$ навантажена на нескінченності рівнорозподіленими нормальними $F_1(t)$ і зсувними $F_2(t)$ зусиллями (див. рис. 2), дія яких по чергово змінюється (блочне навантаження з блоком $F_1 + F_2$). В межах одного блока ($0 \leq t \leq 2\pi\omega^{-1}$) зміну цих зусиль можна зобразити так:

$$F_1(t) = p[1 - H(t - \pi\omega^{-1})][1 + \sin 2\omega t], \quad (8)$$

$$F_2(t) = \tau H(t - \pi\omega^{-1})[1 + \sin(2\omega t + \pi)].$$

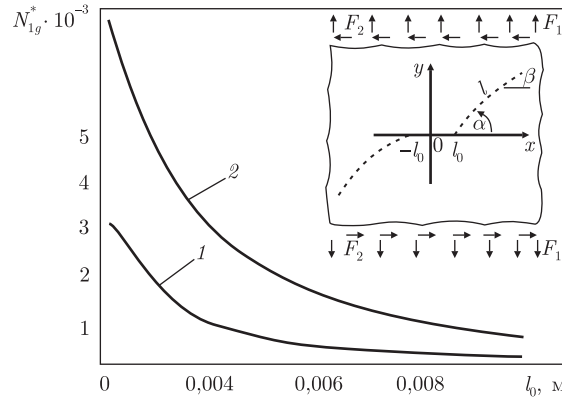


Рис. 2. Порівняння залежностей $N_1^* \sim l_0$ для синхронної (крива 2) і несинхронної (крива 1) дії зусиль $F_1(t)$, $F_2(t)$

Тут p , τ — амплітуди навантажень; $H(x)$ — функція Хевісайда; ω — кругова частота навантаження. Задача полягає у визначенні кількості $N_1 = N_1^*$ блоків навантаження, після досягнення якого пластина зруйнується.

Розв'язок такої задачі здійснюємо за допомогою математичної задачі (1). В даному випадку

$$W_c = 0,25\alpha_0 E^{-2} \sigma_t^{-1} [K_{IP \max}^4(l, \theta_*) + K_{I\tau \max}^4(l, \theta_*) - K_{th}^4], \quad (9)$$

де $K_{IP \max}(l, \theta_*)$, $K_{I\tau \max}(l, \theta_*)$ — коефіцієнти інтенсивності напружень, відповідно, від зусиль $F_1(t)$, $F_2(t)$. Тут θ_* шукаємо на основі другого рівняння (1), що у випадку малих значень l і $p = \tau$ дасть $\theta_* = \alpha \approx 60^\circ$, а при великих l і $p = \tau$ — $\theta_* = \beta \approx 27^\circ$ (див. рис. 2). Коефіцієнти інтенсивності напружень $K_{IP \max}(l, \theta_*)$, $K_{I\tau \max}(l, \theta_*)$ визначаємо за інтерполяційною формулою через їх граничні випадки для малих і великих значень втомної тріщини l , що запропонована в роботі [8]. В зв'язку з цим для обчислення $K_{IP \max}(l, \theta_*)$, $K_{I\tau \max}(l, \theta_*)$ отримуємо формули

$$\begin{aligned} K_{IP \max}(l, \theta_*) &\approx p\sqrt{\pi l} \sqrt{0,50\lambda + 0,69}, \\ K_{I\tau \max}(l, \theta_*) &\approx \tau\sqrt{\pi l} \sqrt{1,42\lambda + 0,56}, \quad \lambda = l_0 l^{-1}. \end{aligned} \quad (10)$$

На основі співвідношень (9) і (10) і приймаючи $K_{th} = 0$, математичну задачу (1) для даного випадку запишемо так:

$$\frac{dl}{dN_1} = \frac{p^4 \pi^2 l^2 \alpha_0 (2,27\lambda^2 + 1,28\lambda + 0,79)}{4E\sigma_t [K_{fc}^2 - p^2 \pi l (1,92\lambda + 1,25)]}, \quad (11)$$

$$N_1 = 0, \quad l(0) = 0; \quad N_1 = N_1^*, \quad l(N_1^*) = l_*, \quad l_* = (K_{fc}^2 - 1,92p^2 \pi l_0) / 1,25\pi p^2.$$

Інтегруючи рівняння (11) при відповідних початкових і кінцевих умовах, для визначення залишкової довговічності пластина $N_1 = N_1^*$ отримуємо таку формулу:

$$\begin{aligned} N_1^* &= 4\pi\alpha_0^{-1} p^{-2} E^{-1} \sigma_t^{-1} \int_0^1 \frac{1,25(1-\lambda)}{(2,27\lambda_0^2 + 1,28\lambda\lambda_0 + 0,79\lambda^2)} d\lambda, \\ \lambda &= l_*^{-1}, \quad \lambda_0 = \frac{1,25}{\xi l_0^{-1} - 1,92}, \quad \xi = \frac{K_{fc}^2}{\pi p^2}. \end{aligned} \quad (12)$$

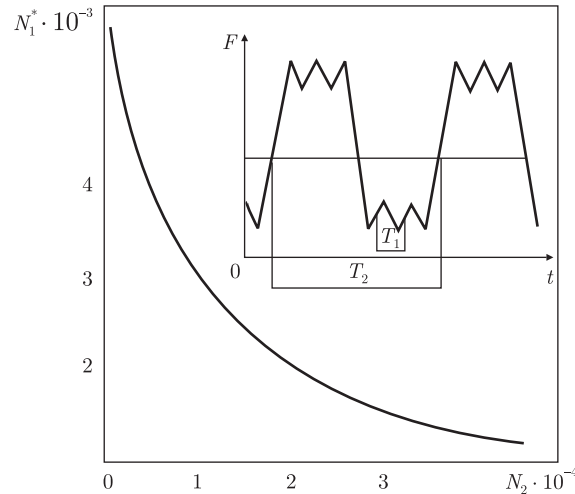


Рис. 3. Залежність залишкової довговічності N_1^* пластини від частоти N_2

Розглянемо тепер інший випадок цієї задачі, коли сили $F_1(t)$, $F_2(t)$ змінюються з часом синхронно. Проводячи, аналогічно попередньому, міркування і обчислення, залишкову довговічність пластини $N_1 = N_1^*$ будемо визначати так:

$$N_1^* = \int_{0,71l_0}^{l_*} 4E\sigma_t p^{-4} \pi^{-2} \alpha_0^{-1} l^{-2} [K_{fc}^2 - p^2 \pi l] dl, \quad l_* = \pi^{-1} p^{-2} K_{fc}^2. \quad (13)$$

Проінтегрувавши (13), отримаємо

$$N_1^* = 4\pi^{-1} \alpha_0^{-1} p^{-2} E\sigma_t (1,41\xi l_0^{-1} - 1 + \ln 0,71l_0 \xi^{-1}). \quad (14)$$

На рис. 2 за формулами (13) і (14) побудовані (відповідно, криві 1 і 2) графічні залежності $N_1^* \sim l_0$. Як видно із рис. 2, одночасна дія зусиль $F_1(t)$, $F_2(t)$ збільшує довговічність пластини порівняно з їх почерговою дією.

Блочне навантаження при вібрації. В багатьох випадках інженерної практики поряд з високоамплітудним навантаженням елементи конструкцій піддаються дії високочастотних і низькоамплітудних вібраційних навантажень [3, 4]. Деякі дослідники вважають, що вплив вібрації в зв'язку з малою її амплітудою є незначним і ним можна нехтувати. Це, можливо, було б так, якби це не відбувалося на фоні високоамплітудного навантаження. В даному випадку таке нехтування може призвести до значних помилок, які підуть не в запас довговічності, а в небезпеку непередбачуваного руйнування. Запропонований тут підхід дає змогу розв'язувати такі задачі, моделюючи сумісну дію високоамплітудного навантаження з вібрацією, як блочне навантаження. Продемонструємо це на прикладі наступної задачі.

Нехай нескінченна пластина з системою періодичних вздовж однієї прямої тріщин довжиною $2l_0$ і віддалями між їх центрами $2h$ піддана дії блочного навантаження $F(t)$ (рис. 3), яке направлено перпендикулярно до лінії розміщення тріщин і описується так:

$$F(t) = a_1 + b_1 \sin \omega_1 t + b_2 \sin \omega_2 t, \quad (15)$$

де ω_1 — кругова частота низькочастотної і високоамплітудної складової (основне навантаження з амплітудою b_1 і періодом T_2) навантаження; ω_2 — кругова частота високочастотної і низькоамплітудної (вібрація з амплітудою b_2 і періодом зміни T_1) складової навантаження ($N_2 = \omega_2 \omega_1^{-1}$, $\omega_2 \gg \omega_1, b_1 \gg b_2$); a_1 — середнє значення навантаження в циклі. Задача полягає у визначенні такої кількості блоків навантаження $N_1 = N_1^*$, після досягнення якої тріщини досягнуть критичної довжини $l = l_*$ і пластина зруйнується. Розв'язок такої задачі здійснюємо з допомогою аналогічних для співвідношень (1), тобто

$$\frac{dl}{dN_1} = W_c E (K_{fc}^2 - \pi l (a_1 + b_1 + b_2)^2 f_1^2(\varepsilon_1))^{-1}; \quad (16)$$

з початковими і кінцевими умовами

$$\begin{aligned} N_1 = 0, \quad l(0) = l_0, \\ N_1 = N_1^*, \quad l(N_1^*) = l_*, \quad l_* = \pi^{-1} K_{fc}^2 (a_1 + b_1 + b_2)^{-2} f_1^{-2}(\varepsilon_1). \end{aligned} \quad (17)$$

Тут величина $f_1(\varepsilon_1)$ визначається на основі [7] так:

$$f_1(\varepsilon_1) = 2[(1 - \varepsilon_1)[4 + (\pi^2 - 4)\varepsilon_1]]^{-0,5}, \quad \varepsilon_1 = lb^{-1}. \quad (18)$$

Роботу пластичних деформацій в зоні передруйнування біля вершин тріщин W_c визначаємо, аналогічно попередньому, так:

$$\begin{aligned} W_c = 4\alpha_0 \pi^2 l^2 E^{-2} \sigma_t^{-1} f_1^4(\varepsilon_1) [1 + N_2(1 - R)^4] [(a_1 + b_1 + b_2)^4 - F_{th}^4], \\ R = 2(b_1 + b_2)(a_1 + b_1 + b_2)^{-1}. \end{aligned} \quad (19)$$

Тоді, інтегруючи (16) з врахуванням (17)–(19), для визначення критичної величини $N_1 = N_1^*$ отримаємо

$$\begin{aligned} N_1^* = \frac{\sigma_t E N_2^* (a_1 + b_1 + b_2)^{-2}}{4\alpha_0 \pi [1 + N_2(1 - R)^4]}, \quad N_2^* = \int_{\varepsilon_{10}}^{\varepsilon_{1*}} \frac{(\varepsilon_{1*} - \varepsilon_1) d\varepsilon_1}{\varepsilon_1^2 f_1^2(\varepsilon_1) (1 - \lambda_{th}^4)}, \\ \varepsilon_{10} = l_0 h^{-1}, \quad \varepsilon_{1*} = l_* h^{-1}, \quad \lambda_{th} = F_{th} (a_1 + b_1 + b_2)^{-1}. \end{aligned} \quad (20)$$

Як і раніше, для числового аналізу співвідношення (20) приймемо $R = 0,9$, $F_{th} \approx 0$, $\varepsilon_{10} = 0,1$, $\varepsilon_{1*} = 0,9$, $0,25\alpha_0^{-1} \pi^{-1} \sigma_t E (a_1 + b_1 + b_2)^{-2} = 10^6$. Тоді, обчислюючи інтеграл (20), знаходимо кількість блоків навантаження $N_1 = N_1^*$, після досягнення якого тріщини будуть мати критичну довжину $l = l_*$ і пластина зруйнується. На рис. 3 побудована графічна залежність $N_1^* \sim N_2$. Як видно із рис. 3, збільшення частоти вібрації N_2 знижує довговічність пластини.

Таким чином, за допомогою сформульованої розрахункової моделі досліджено вплив структури і форми блоків навантаження на залишковий ресурс пластини. При цьому показано, що неврахування форми і структури блоків навантаження може призвести до значних похибок в бік завищення залишкового ресурсу і, таким чином, небезпеки непередбачуваного руйнування тонкостінних елементів конструкцій.

1. Schijve S. Fatigue of Structures and Materials in the State of the Art // Proc. of the ECF14. – 2002. – 3. – P. 211–262.

2. Романив О. Н., Ярема С. Я., Никифорчин Г. Н. и др. Усталость и циклическая трещиностойкость конструкционных материалов // Механика разрушения и прочность материалов. – Киев: Наук. думка, 1988. – 1990. – 680 с.
3. Труфьяков В. И., Ковальчук В. С. Определение долговечности при двухчастотном нагружении (Обзор) // Пробл. прочности. – 1982. – № 9. – С. 9–15; № 10. – С. 15–20.
4. Филатов М. Я. Сопротивление усталости при сложной форме цикла изменения напряжений (Обзор) // Завод. лаборат. – 1968. – 34, № 3. – С. 331–336.
5. Андрейків О. Є., Іваницький Я. Л., Терлецька З. О., Кім М. Б. Оцінка довговічності труби нафтопроводу з поверхневою тріщиною під двовісним блочним навантаженням // Фіз.-хім. механіка матеріалів. – 2004. – № 3. – С. 103–108.
6. Андрейків О. Є., Кім М. Б. Залишкова довговічність тонкостінних елементів конструкцій під двовісним навантаженням // Фіз.-хім. механіка матеріалів. – 2008. – № 1. – С. 11–16.
7. Андрейкив А. Е. Пространственные задачи теории трещин. – Киев: Наук. думка, 1982. – 345 с.
8. Андрейкив А. Е., Сас Н. Б. Диаграммы предельных напряжений для пластин с трещинами высокотемпературной ползучести // IV междунар. симпозиум механики разрушения материалов и конструкций. – Польша, 30 мая – 2 июня 2007. – С. 15–18.

Львівський національний університет ім. Івана Франка

Надійшло до редакції 18.04.2011

Член-корреспондент НАН України **А. Е. Андрейкив, С. В. Хыль, Ю. Я. Матвиив**

Расчетная модель для определения периода докритического роста трещин в пластинах при блочной нагрузке

Разработан метод для определения остаточного ресурса тонкостенных элементов конструкций с трещинами при блочной нагрузке. Исследовано влияние формы и структуры блоков нагрузки на остаточную долговечность пластины.

Corresponding Member of the NAS of Ukraine **O. Ye. Andreikiv, S. V. Khylyu. Ya. Matviyiv**

A calculation model for the determination of subcritical crack growth periods in plates under block loading

A method is developed for the determination of a residual resource of the construction thin-walled elements with cracks under the block loading. The influence of the form and the structure of loading blocks on the residual resource of a plate is investigated.